

立命館大学 正員 伊藤 滉  
名古屋大学 正員 福本 晴士

## (1) はじめに

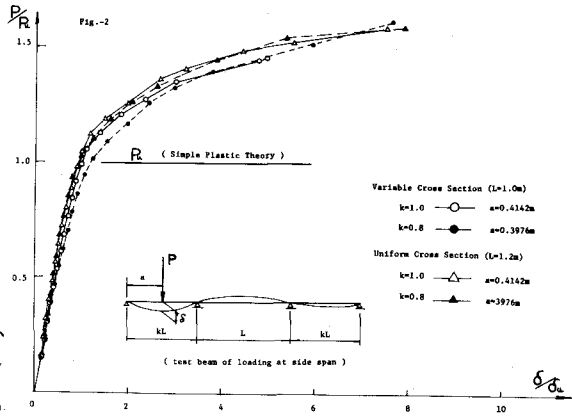
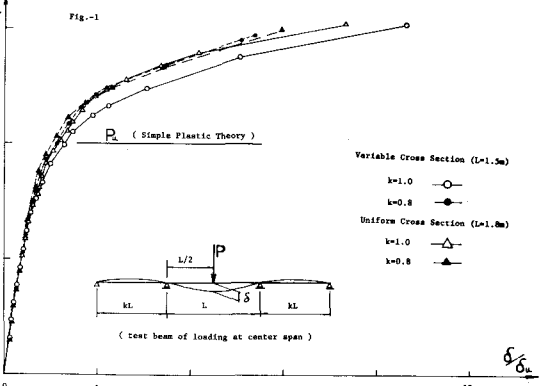
本研究は、昨年度の変断面格子桁の曲げ試験<sup>1)</sup>の結果研究として変断面連続はりの崩壊実験を行ない、同時に3本主桁3本横桁の変断面格子桁の最小重量抵抗塑性モーメント分布を求めたものである。

連続はりの崩壊試験は、荷重の移動性、および重量最小化を目的とした单一移動荷重をうける三径間連続はりの塑性設計を行ない、それにまつて得られたはり断面を圧延H形鋼から製作加工し、(1)その極限強度、(2)崩壊性状に与えよひずみ硬化の影響および残留応力の影響、(3)全塑性モーメントに与えよせん断力の影響などを主に検討した。また、同一崩壊荷重で崩壊する等断面連続はりの試験桁を製作し、変断面はりとの極限強度、崩壊性状について比較検討し、これら試験桁のもつ崩壊に対する安全性を実験によって明らかにしようとしたものである。3本主桁3本横桁の変断面格子桁塑性設計は、線荷重、分布荷重、等分布死荷重の任意の組合せ荷重が種々の荷重比で作用する場合の、桁に必要とされる抵抗塑性モーメント分布を、塑性解析の下界定理を用いて影響線的なる方程式とづいて求め、重量最小化の点で検討を加えたものである。

## (2) 曲げ試験

実験内容： 単一移動荷重に対する変断面塑性設計された連続はりの崩壊曲げ試験に用いたはりは、(1) 中スパン載荷の試験はり、スパン長 $1.5m + 1.5m + 1.5m$ (スパン比 $k=1.0$ )、スパン長 $1.474m + 1.8m + 1.474m$ ( $k=0.8$ )の連続はり、および、(2) 側スパン載荷の試験はり、スパン長 $1.0m + 1.0m + 1.0m$ ( $k=1.0$ )、スパン長 $0.96m + 1.2m + 0.96m$ ( $k=0.8$ )の連続はりである。実験用はりは、JIS圧延H形鋼(S52I, H-125×25×6.5×9)から、つきの4種類を切り出した。変断面はり(中スパン載荷はり)  $k=1.0, k=0.8$  の2本、側スパン載荷試験はり  $k=1.0, k=0.8$  の2本)、および、計算による崩壊荷重が同一である等断面はり(中スパン載荷試験はり  $k=1.0, k=0.8$  の2本、側スパン載荷はり  $k=1.0, k=0.8$  の2本)の計8本である。試験はりは、はりの崩壊構造を形成するのに必要な仰折りH形鋼フランジ部のみが所要寸法に切削加工され、塑性ヒンジ形成を容易にしている。荷重の載荷位置は、中スパン載荷試験はりでは、中スパンの中央点、側スパン載荷試験はりでは、スパン比  $k=1.0$  の場合は、支点から  $0.4442m$ 、スパン比  $k=0.8$  の場合は、支点から  $0.3976m$  の位置とした。

実験結果： 図-1、図-2は、縦軸に実験で得た荷重強度  $P_R$  を単純塑性解析から求めて崩壊荷重層で無次元化して量をとり、横軸には、実験による荷重載荷点下のたわみ



み量 $\delta$ を計算による崩壊時のたわみ量 $\delta_0$ で無次元化した量であり、それを示したものである。図中、1.0は計算による崩壊荷重を示すが、各試験桁ともこの値を目標に設計され、曲げ試験が行なわれたことを示している。图から、各試験はりとも、ひずみ硬化の影響で、目標値より少し大きめの値となっていることがわかる。

### (3) 3本主桁3本横桁の格子桁

図-3に示すように格子桁に線荷重 $P = 5\text{t/m}$ 、分布荷重 $p = 0.5\text{t/m}^2$ 等分布死荷重 $\beta M_0$ が作用するときの各桁の必要抵抗塑性モーメントは次のようにして求められる。ここに、 $\alpha$ は崩壊線荷重係数、 $\beta$ は分布死荷重比、 $M_0 = 2PL_0 + PL_0^2 + \frac{qL_0^3}{3}$ で示される量を示す。(1) 単純はりを静定基本系に置き設計荷重による曲げモーメント図を求める。(2) これに崩壊時に横桁から伝達される鉛直反力による負の曲げモーメント図を加え、正の最大曲げモーメント $M_{shmax}$ を求める。(3) 鉛直反力による負の曲げモーメントと大きさ $M_0$ を次の条件から求めよ。支点から $x = C_0 L_0$ の位置で、不静定反力による曲げモーメント $M_H$ と $M_{shmax}$ の和が零に等しいとし求める。ここに、 $C_0$ は格子桁全重量を最小にする条件 $\frac{M_H}{M_0} = 1$ から求める。(4) (1)～(3)までの操作を各主桁について行ない、その中で最小重量となる任意断面の絶対最大曲げモーメントをその断面の必要抵抗塑性モーメントとする。(5) 崩壊時の塑性ヒンジ位置は、 $M_{shmax}$ の位置と、横桁と主桁上の交差上断面ととなる。以上の方針によれば、各主桁の設計は、鋼道路橋示方書の「荷重載荷方法」に従つて、その主桁に作用する最大設計荷重と崩壊時の横桁からの鉛直反力が作用する桁として行なうことができる。図-3は、 $\alpha = 0.2$ に対するものであり、この時の各桁の抵抗塑性モーメント式は次のようになる。

$$\frac{M_p}{M_0} = \alpha (1 + \frac{q}{P}) X_p + \beta X_q ,$$

主桁A ;  $X_p = \begin{cases} \left[ \frac{1}{2}(C_1 - 1) + k_1(1 - \frac{x}{L_0}) \right] \frac{x}{L_0}, & (0 \leq \frac{x}{L_0} \leq \frac{1}{2}) \\ \frac{1}{2}k_1(C_1 - 1) + \frac{1}{2}(k_2(C_1 - 1) + k_3(\frac{x}{L_0}))^2, & (\frac{1}{2} \leq \frac{x}{L_0} \leq \frac{1}{2}) \end{cases}$ ,  $X_q = \begin{cases} \left[ \frac{1}{2}(C_1 - 1) + \frac{1}{2}(1 - \frac{x}{L_0}) \right] \frac{x}{L_0}, & (0 \leq \frac{x}{L_0} \leq \frac{1}{2}) \\ \frac{1}{2}k_1(C_1 - 1) + \frac{1}{2}(6k_2 - 1 + C_1) \frac{x}{L_0} - \frac{1}{2}(\frac{x}{L_0})^2, & (\frac{1}{2} \leq \frac{x}{L_0} \leq \frac{1}{2}) \end{cases}$ ,  $(0 \leq \frac{x}{L_0} \leq \frac{1}{2})$

主桁B ;  $X_p = \begin{cases} \left( \frac{1}{2} + \frac{1}{2}C_1 - \frac{1}{2}C_2 \right) \frac{x}{L_0}, & (0 \leq \frac{x}{L_0} \leq C_1) \\ \left( \frac{1}{2} - \frac{1}{2}C_1 \right) \frac{x}{L_0}, & (C_1 < \frac{x}{L_0} \leq \frac{1}{2}) \end{cases}$ ,  $X_q = \begin{cases} \left( \frac{1}{2}C_1 - \frac{1}{2}C_2 \right) \frac{x}{L_0}, & (0 \leq \frac{x}{L_0} \leq C_1) \\ \frac{1}{2}(1 - C_1) - \frac{1}{2}(2 + C_1) \frac{x}{L_0} + \frac{1}{2}(\frac{x}{L_0})^2, & (C_1 < \frac{x}{L_0} \leq C_2) \\ \frac{1}{2}(C_1 - 1) + \frac{1}{2}(2 + C_1) \frac{x}{L_0} - \frac{1}{2}(\frac{x}{L_0})^2, & (C_2 < \frac{x}{L_0} \leq C_3) \\ \frac{1}{2}(1 - C_1) - \frac{1}{2}(2 + C_1) \frac{x}{L_0} + \frac{1}{2}(\frac{x}{L_0})^2, & (C_3 < \frac{x}{L_0} \leq \frac{1}{2}) \end{cases}$ ,  $(C_1 < \frac{x}{L_0} \leq \frac{1}{2})$

横桁 ;  $X_p = X_q = \frac{1}{2}(1 - C_1) \frac{x}{L_0}$ , ただし,  $C_1 = 0.196L_0$ ,  $C_2 = 0.365L_0$ ,  $C_3 = 0.367L_0$ .

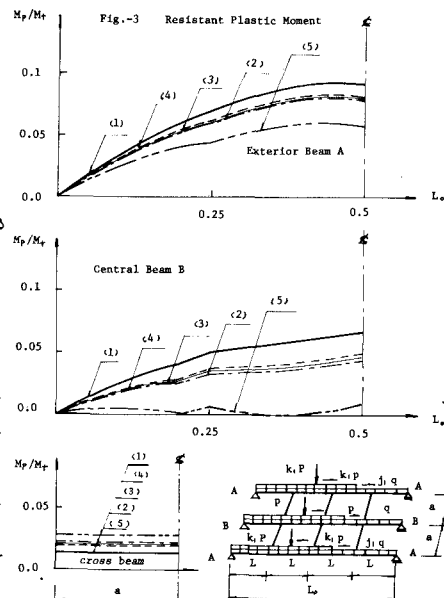
### (7) あとがき

変断面、等断面2種類の連続はりを延長形鋼から製作し、それそれの極限強度を曲げ試験により求め、同時に、3本主桁3本横桁の格子桁の変断面最小重量塑性設計を行ない各構の抵抗塑性モーメント分布を求めた。

本実験を行なうにあたり、実験用はりの製作加工は、高田機工(株)の方々の並々ならぬご世話になり、多大なる援助を得た。ここに厚くお礼申しあげます。また、実験にあたり、昭和49年卒業生(立命館)の連続はり班の諸君には、多大なる協力を得た。ここに深謝する次第である。

参考文献 ; 1) 稲本伊藤原口、「変断面格子桁の極限強度について」、土木学会全国大会概要集、昭和49年10月。

2) Knudsen, Yang, Johnston, Beadle; Plastic Strength and Deflection of Continuous Beams, Supplement, May, 1953.



曲線	$P : pL_0 : qL_0$	S	$\alpha$	$\beta$	$M_0$	$L_0(\text{m})$
(1)	$1 : 0 : 0$	0.500	0	0	$2PL_0$	$L_0$
(2)	$1 : 1.4 : 2.0$	0.185	1.4	0.370	$5.4PL_0$	20
(3)	$1 : 2.1 : 2.0$	0.164	2.1	0.328	$6.1PL_0$	30
(4)	$1 : 2.8 : 2.0$	0.147	2.8	0.294	$6.8PL_0$	40
(5)	$0 : 0 : 1$	0	0	1.000	$qL_0$	$L_0$

$k = j = 1, \alpha = 0.07L_0$